

Министерство высшего и среднего специального образования  
РСФСР

Горьковский ордена Трудового Красного Знамени  
научно-исследовательский радиофизический институт(НИРФИ)

Препринт № 295

ДЛИТЕЛЬНОСТЬ ЗВУЧАНИЯ ИМПУЛЬСНОГО СИГНАЛА  
НА РАЗЛИЧНЫХ ГЛУБИНАХ В ОКЕАНИЧЕСКОМ ВОЛНОВОДЕ

В.А.Лазарев  
Ю.В.Петухов

Горький 1990

Лазарев В. А., Петухов Ю. В.

ДЛИТЕЛЬНОСТЬ ЗВУЧАНИЯ ИМПУЛЬСНОГО СИГНАЛА НА РАЗЛИЧНЫХ  
ГЛУБИНАХ В ОКЕАНИЧЕСКОМ ВОЛНОВОДЕ // Препринт № 295. -Горький:  
НИРФИ. - 1990. - 10 с.

УДК 534.231.1

При экспериментальных исследованиях зависимости от горизонтального расстояния длительности звучания импульсного сигнала давления на различных глубинах в подповерхностном звуковом канале обнаружена неизменность этой характеристики с увеличением глубины приема, объясняющаяся вкладом в поле на низких частотах сигналов, рассеянных преимущественно вперед на крупномасштабных неровностях взволнованной поверхности и – объемных неоднородностях приповерхностной толщи океанического волновода.

Известно /1/, что при распространении широкополосных импульсных сигналов в океанических волноводах наблюдается дисперсионное их "расплывание" во времени из-за многолучевости (многомодовости), что приводит к увеличению длительности их звучания  $\tau(r)$  с ростом горизонтального расстояния  $r$ . Наиболее заметно эти изменения  $\tau(r)$  проявляются на значительных расстояниях, реализуемых в подводных звуковых каналах и представляющих здесь основной интерес. Наличие различного рода неоднородностей, в основном в приповерхностных слоях океанических волноводов, а также взволнованной свободной поверхности, приводит к появлению рассеянных сигналов, которые вносят существенный вклад в реверберационную и предреверберационную составляющие поля /2,3/ и, тем самым, влияют на поведение зависимости  $\tau(r)$  на значительных расстояниях (см. /2,3/), где, по-видимому, можно не учитывать донную реверберацию.

Поскольку представляют интерес именно значительные расстояния (свыше нескольких сотен километров), то целью данной работы являлось экспериментальное исследование влияния рассеяния взволнованной поверхностью и объемными неоднородностями приповерхностной толщи на изменение времени звучания импульсных сигналов с расстоянием при различных глубинах приема в подповерхностном звуковом канале (рис. I).

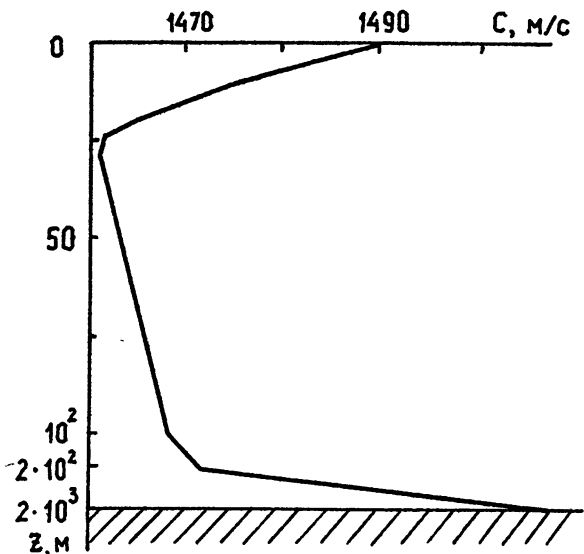


Рис. I. Зависимость от глубины  $z$  скорости звука  $C(z)$  в районе проведения экспериментальных исследований.

При проведении экспериментальных исследований в качестве источников широкополосных сигналов использовались ВИЗ с тротиловым эквивалентом  $Q = 0,38$  кг, которые производились на оси канала  $Z_s = 30$  м и определенных расстояниях  $r$  от приемной системы, состоявшей из двух ненаправленных гидрофонов, погруженных на глубины  $Z_r = 50$  и  $Z_r = 10^3$  м. Рассматривалась лишь область расстояний  $r > 2 \cdot 10^5$  м, в которой, как ожидалось, влияние сигналов донных отражений и донной реверберации на поведение  $\tau(r)$  существенно ослаблено. При приеме на оси звукового канала зависимость от времени  $t$  интенсивности  $I(t) = \frac{1}{T} \int_{t_0}^{t_0+T} p^2(t) dt$  сигнала давления  $p(t)$  на фиксированном расстоянии имеет классический вид с резким "обрывом" в конце (см. рис. 2); здесь  $T$  - время усреднения. При приеме на нижний гидрофон  $Z_r = 10^3$  м реализуются условия "тени" для сигналов, распространяющихся вдоль водных лучей, углы скольжения которых  $\chi$  определяются простым соотношением  $\chi < \chi_0 = \arccos [C_0 / C(z_r)]$ , где  $C(z)$  - зависимость скорос-

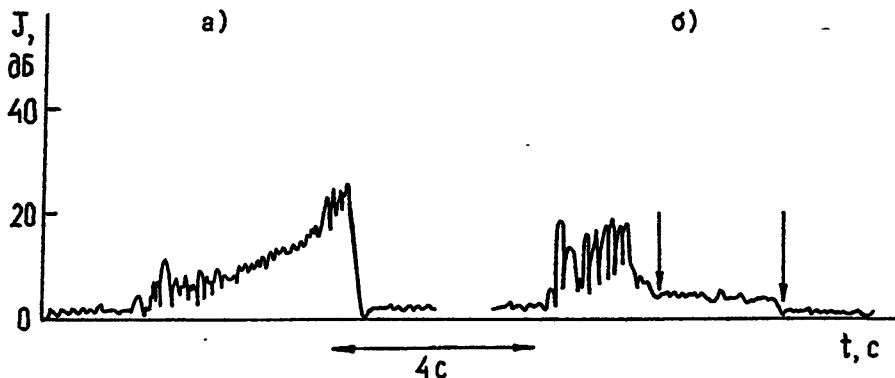


Рис. 2. Зависимость от времени  $t$  интенсивности  $J(t)$  взрывных сигналов  $J(t) = 10 \lg |I(t)/I_0|$  на расстоянии  $r = 4,83 \cdot 10^5$  м (а) и  $r = 10^3$  м (б). Здесь  $I_0$  — минимальная интенсивность шума; вертикальными стрелками в (б) отмечен реверберационный "хвост";  $T = 0,2$  с.

ти звука от глубины  $Z$  (см. рис. 1),  $C_0 = \min \{C(z)\} = C(z_s)$ . В результате отсутствия лучей с  $\chi < \chi_0$ , формирующих наиболее энергетическую часть взрывного сигнала в канале  $|I|$ , максимальные значения интенсивности сигнала при  $Z_r = 10^3$  м имеют место в средней его части (см. рис. 2).

Обратимся теперь к зависимости времени звучания сигналов от расстояния на различных глубинах (см. рис. 3), используя для объяснения их поведения, наряду с численными расчетами  $\tau(r)$  по лучевой теории для реального профиля  $C(z)$ , аналитические оценки  $\tau(r)$  для модельного приповерхностного канала  $C_m(z) = C_0(1 + az)$ ,

где  $a \approx [C(H) - C_0]/C_0$ ,  $C_0 = C(z_s)$ ,  $H \approx 2 \cdot 10^3$  м —

глубина водного слоя. Использование этой зависимости  $C_m(z)$  в данном случае оправдано тем, что для частотного диапазона  $\chi < 10^2$  Гц, в котором сосредоточена значительная часть всей спектральной плотности потока энергии взрывного сигнала при выбранных  $Z_s$  и  $Q$ , влияние верхнего слоя жидкости  $0 < Z < 30$  м с отрицательным

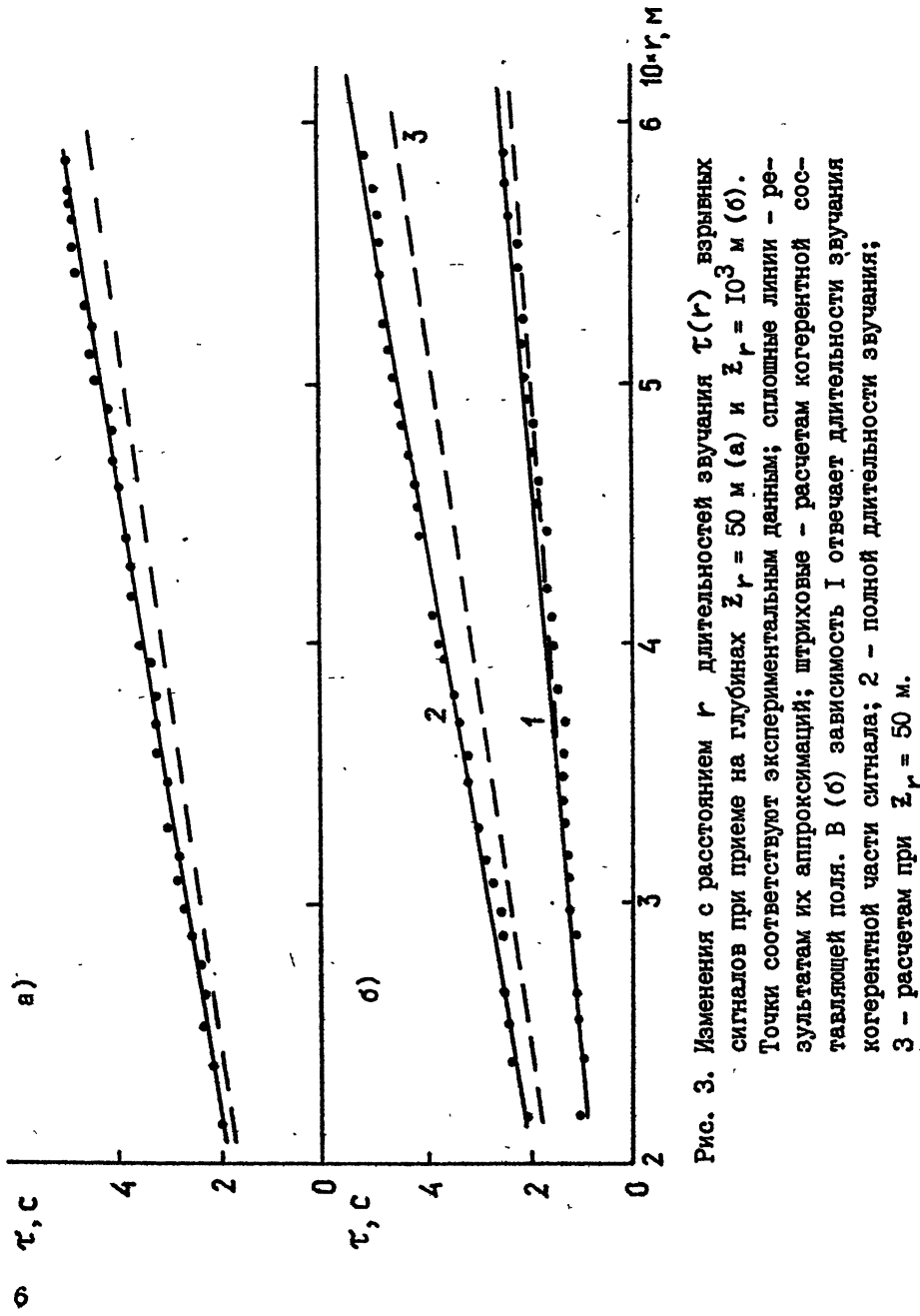


Рис. 3. Изменения с расстоянием  $r$  длительностей звучания  $\tau(r)$  взрывных сигналов при приеме на глубинах  $z_r = 50$  м (а) и  $z_r = 10^3$  м (б). Точки соответствуют экспериментальным данным; сплошные линии – результатам их аппроксимации; штриховые – расчетам когерентной составляющей поля. В (б) зависимость 1 отвечает длительности звучания когерентной части сигнала; 2 – полной длительности звучания; 3 – расчетам при  $z_r = 50$  м.

градиентом  $C(z)$  (см. рис. I) на поведение  $\tau(r)$  будет существенно ослаблено.

Как следует из приведенных на рис. З данных, длительность звучания импульсного сигнала в подповерхностном звуковом канале возрастает пропорционально пройденному им расстоянию. Некоторые расхождения между теоретическими и экспериментальными данными обусловлены, по-видимому, неточным знанием градиента скорости звука на больших глубинах  $z > 2 \cdot 10^2$  м, изменчивостью значения величины  $C_0$  по трассе распространения, а также неучтеным вкладом рассеянных сигналов. Для модельного профиля  $C_m(z)$  в предположении  $Z_s \rightarrow 0$  нетрудно получить аналитическое выражение для  $\tau(r)$  (см. /I/)

$$\tau(r) \approx \frac{1}{3} a (H - z_r) \frac{r}{C_0}, \quad (I)$$

из которого видно, что с увеличением глубины приема  $Z_r$  величина  $\tau(r)$  должна уменьшаться из-за образования зоны "тени" для сигналов, распространяющихся вдоль лучей с углами скольжения  $\chi < \arccos [1/(1+aZ_r)]$ . Если измерять длительность наиболее энергетического участка взрывного сигнала при  $Z_r = 10^3$  м (см. рис. 2), то приблизительно аналогичное поведение  $\tau(r)$  имеет место (см. рис. 3). Однако, за основным сигналом при  $Z_r = 10^3$  м хорошо просматривается реверберационный "хвост" (см. рис. 2), с учетом которого зависимость полной длительности звучания  $\tau(r)$  при  $Z_r = 10^3$  м на рис. 3 располагается, естественно, чуть выше аналогичной зависимости даже при  $Z_r = 50$  м, а тем более выше этой величины при  $Z_r = 10^3$  м.

Из приведенных на рис. 4 спектограмм  $S(t, f) = \left| \int_t^{t+T} P(t) \times \exp(-2\pi i f t) dt \right|^2$  сигналов видно, что в реверберацион-

ную составляющую поля вносит основной вклад рассеяние сигналов в низкочастотном диапазоне  $f < 10^2$  Гц на взволнованной поверхности океана и объемных неоднородностях в подповерхностном звуковом канале. Доводом в пользу именно такого механизма образования реверберационного "хвоста" на больших расстояниях  $r > 2 \cdot 10^5$  м слу-

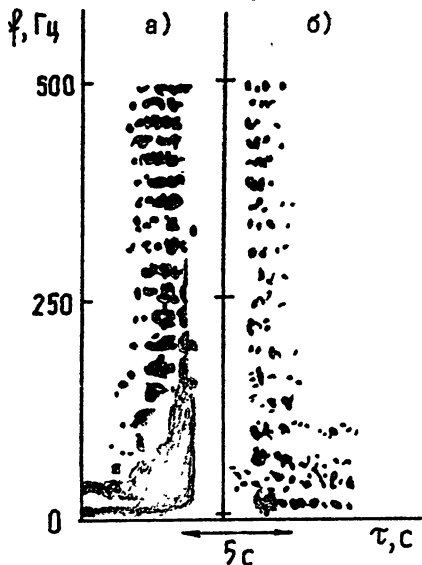


Рис. 4. Представленные в плотностном виде на плоскости время звучания – частота ( $\tau - f$ ) спектрограммы  $S(t, f)$  принятых на расстоянии  $r = 3,09 \cdot 10^5$  м и глубинах  $z_r = 50$  м (а) и  $z_r = 10^3$  м (б) сигналов ( $T = 0,4$  с).

жит сам характер резкого его "обрыва", что может быть связано лишь с рассеянием сигналов, распространяющихся по приосевым лучам (модам низких номеров) в подповерхностном звуковом канале (см. рис. 5). Поэтому, тот факт, что полная длительность сигнала при  $z_r = 10^3$  м несколько превышает аналогичную величину даже при  $z_r = 50$  м качественно объясняется уже в рамках лучевой теории однократного рассеяния с использованием модельного профиля  $C_m(z)$ , согласно которой для исследуемой зависимости на глубине  $z_r$  получаем приближенное аналитическое выражение

$$\tau(r) \approx \frac{1}{3} a H \left( r + \sqrt{\frac{2z_r}{a}} \right) / c_0 + \sqrt{\frac{2z_r}{a}} / c_0. \quad (2)$$

Из сравнения выражения (1), (2) следует, что с ростом глубины приема увеличиваются отличия полной длительности (2), учитывающей вклад в поле реверберационной составляющей, от, во-первых, длительности когерентной составляющей сигнала (1); во-вторых, аналогичной величины вблизи оси канала.

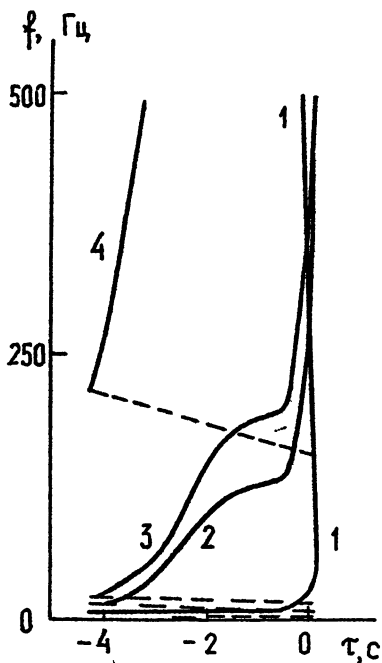


Рис. 5. Теоретические зависимости 1, 2, 3, 4 от частоты  $f$  времени звучания  $\tau = t - r/C_0$  мод с номерами  $l = 1, 7, 10, 10^2$ , полученные в приближении ВКБ /1/ и в предположении идеально отражающих свободной поверхности и дна. Штриховые линии зависимостей  $\tau(r)$  обусловлены расположением точек поворота мод на глубине  $z = H$ ; сплошные —  $z < H$ .

Оценим величину последнего слагаемого в (2) при  $z_r = 10^3$  м, определив предварительно с использованием экспериментальной зависимости  $\tau(r)$  при  $z_r = 50$  м значение градиента скорости звука по формуле  $a \approx 3C_0 [\tau(r_2) - \tau(r_1)] / H(r_2 - r_1)$ , следующей из приближенного выражения (1). При  $C_0 = 1460$  м/с,  $r_1 = 2 \cdot 10^5$  м,  $r_2 = 4 \cdot 10^5$  м,  $\tau(r_2) - \tau(r_1) \approx 1,5$  с находим значение  $a \approx 1,825 \cdot 10^{-5}$  м<sup>-1</sup> и величину  $\sqrt{2z_r/a} / C_0 \approx 7$  с, на которую полная длительность при  $z_r = 10^3$  м должна превышать аналогичную зависимость при  $z_r = 50$  м. Однако, как следует из экспериментальных данных (см. рис. 3), эти зависимости отличаются лишь на существенно меньшую постоянную величину 0,2 – 0,3 с, что, по-видимому, доказывает преобладающий вклад в реверберационную составляющую поля на частотах  $f < 10^2$  Гц при  $z_r = 10^3$  м рассеяния вперед на крупномасштабных неровностях свободной поверхности и – объемных неоднородностях приповерхностной толщи океана сигналов, распространяющихся вдоль лучей с углами скольжения  $\chi < \chi_0$ .

Таким образом, выполненные исследования показали, что при приеме широкополосных импульсных сигналов давления на значительных расстояниях от источника и глубинах, существенно превышающих глубину оси звукового канала и отвечающих условиям образования области "тени" для импульсов, распространяющихся вдоль приосевых лучей, возможно наблюдение рассеянных взволнованной поверхностью и объемными неоднородностями приповерхностной толщи океанического волновода сигналов, дающих заметный вклад в изменение полной длительности звучания импульса давления с расстоянием на различных глубинах. Текущий спектральный анализ сигналов позволяет также исследовать частотную зависимость реверберационной составляющей звукового поля.

В заключение считаем своим долгом выразить признательность Н. В. Студеничнику за предоставленную возможность участия в натуральных экспериментальных исследованиях.

#### Л И Т Е Р А Т У Р А

1. Бреховских Л.М., Лысанов Ю.П. Теоретические основы акустики океана. - Л.: Гидрометеоиздат. - 1982. - 264 с.
2. Бреховских Л.М., Лысанов Ю.П., Студеничник Н.В. К теории предреверберации звука в океане // Докл. АН СССР.-1978.-Т.239, № I.- С. 211-213.
3. Студеничник Н.В. Предреверберация и некоторые механизмы затухания звука в подводном звуковом канале // Тр. четвертого семинара "Акустические и статистические модели океана".-М.: АКИИ АН СССР.-1982.-С. 19-39.

Дата поступления статьи  
20 октября 1989 г.